

УДК 539.3

## УСТОЙЧИВОСТЬ ГИБКОГО СТЕРЖНЯ В УПРУГОЙ СРЕДЕ

*B. L. Никитенков, A. A. Холопов*

В задаче о продольном сжатии вертикальной силой в упругой среде гибкого стержня, при различных граничных условиях получены условия реализации первой и последующих критических сил. Выведены асимптотические зависимости параметра, характеризующего критическую силу, от жесткости, объемлющей стержень, среды.

*Ключевые слова:* стержень, жесткость среды, критические силы, граничные условия, шарнирное опирание, жесткая заделка, свободный край.

Рассмотрим гибкий стержень длины  $l$  в упругой среде, характеризующийся коэффициентом жесткости  $C$ . На стержень действует вертикальная сжимающая сила  $N$ . На концах стержня могут быть заданы следующие граничные условия (см. Рис. 1):

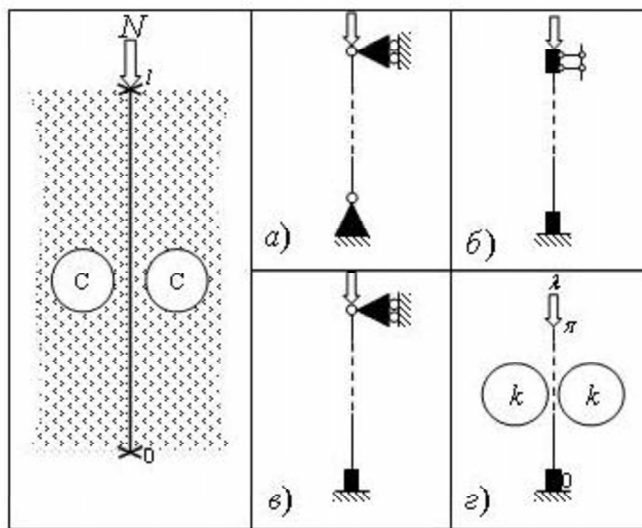


Рис. 1 Виды рассматриваемых граничных условий

- а) Шарнирное опирание обоих концов;
- б) Оба конца жестко заделаны;
- в) Нижний конец жестко заделан, а верхний шарнирно оперт;
- г) Жесткая заделка на нижнем конце стержня и условия свободного края с вертикально действующей продольной сжимающей силой на верхнем конце.

Нас будут интересовать соотношения между параметрами жесткости среды ( $k$ ) и сжимающей силы ( $\lambda$ ), когда последняя достигает своих критических значений (первого и последующих). Переход к безразмерным координатам  $z = x\pi/l$ , изменяющимся на промежутке и введение обозначений

$$\lambda = \frac{Nl^2}{2\pi^2 EI}, k^2 = \frac{Cl^4}{\pi^4 EI}$$

позволяет записать уравнение продольного изгиба в виде [1, с. 100]:

$$w^{IV} + 2\lambda w'' + k^2 w = 0 \quad (0.1)$$

Границные условия задаются в виде одной из следующих однородных систем (см. Табл. 1):

Таблица 1

а) Шарнирное опирание на обоих концах	б) Жесткая заделка обоих концов	в) Нижний конец – жесткая заделка, Верхний – шарнирное опирание	г) Нижний конец – жесткая заделка, Верхний – свободный край
$w(0) = 0$ $w''(0) = 0 \quad (0.2)$ $w(\pi) = 0$ $w''(\pi) = 0$	$w(0) = 0$ $w'(0) = 0 \quad (0.3)$ $w(\pi) = 0$ $w'(\pi) = 0$	$w(0) = 0$ $w'(0) = 0 \quad (0.4)$ $w(\pi) = 0$ $w''(\pi) = 0$	$w(0) = 0$ $w'(0) = 0$ $w''(\pi) + 2\lambda w'(\pi) = 0 \quad (0.5)$ $w''(\pi) = 0$

Необходимо при фиксированном значении  $k$  найти все значения параметра  $\lambda$ , которым соответствуют нетривиальные решения уравнения (0.1) при граничных условиях из набора а) - г). Интерес представляют также зависимости  $\lambda$  от  $k$  для задач а) - г).

### 1. Определяющие зависимости

Характеристическое уравнение для (0.1)

$$p^4 + 2\lambda p^2 + k^2 = 0 \quad (1.1)$$

имеет корни,

$$\pm \sqrt{-\lambda \pm \sqrt{\lambda^2 - k^2}}$$

которые являются чисто мнимыми при  $D = \lambda^2 - k^2 > 0$

$$\pm i m = \pm i \sqrt{\lambda - \sqrt{\lambda^2 - k^2}}, \quad \pm i n = \pm i \sqrt{\lambda + \sqrt{\lambda^2 - k^2}} \quad (1.2)$$

или комплексными при  $D < 0$

$$\mu = \pm (\beta + i\gamma), \quad \nu = \pm (\beta - i\gamma)$$

где

$$\beta = \sqrt{\frac{k-\lambda}{2}}, \quad \gamma = \sqrt{\frac{k+\lambda}{2}} \quad (1.3)$$

При  $D = 0$  уравнение (1.1) имеет кратные корни

$$\pm n = \pm \sqrt{\lambda}, \quad n = \sqrt{\lambda} \quad (1.4)$$

Этим трем случаям соответствуют следующие фундаментальные системы решений ( $\Phi_{CP}$ ) (см. Табл. 2):

Таблица 2

Дискриминант	$\Phi_{CP}$	Значение в нуле	Дифференцирование $\Phi_{CP}$
$D < 0$	$Y_0(z) = ch(\beta z) \cos(\gamma z)$ $Y_1(z) = ch(\beta z) \sin(\gamma z)$ $Y_2(z) = sh(\beta z) \cos(\gamma z)$ $Y_3(z) = sh(\beta z) \sin(\gamma z)$	$Y_0(0) = 1$ $Y_1(0) = 0$ $Y_2(0) = 0$ $Y_3(0) = 0$	$Y'_0(z) = \beta Y_2(z) - \gamma Y_1(z)$ $Y'_1(z) = \beta Y_3(z) + \gamma Y_0(z)$ $Y'_2(z) = \beta Y_0(z) - \gamma Y_3(z)$ $Y'_3(z) = \beta Y_1(z) + \gamma Y_2(z)$
$D = 0$	$Y_0(z) = \cos(nz)$ $Y_1(z) = z \cos(nz)$ $Y_2(z) = \sin(nz)$ $Y_3(z) = z \sin(nz)$	$Y_0(0) = 1$ $Y_1(0) = 0$ $Y_2(0) = 0$ $Y_3(0) = 0$	$Y'_0(z) = -n Y_2(z)$ $Y'_1(z) = Y_0(z) - n Y_3(z)$ $Y'_2(z) = n Y_0(z)$ $Y'_3(z) = Y_2(z) + n Y_1(z)$
$D > 0$	$Y_0(z) = \cos(mz)$ $Y_1(z) = \sin(mz)$ $Y_2(z) = \cos(nz)$ $Y_3(z) = \sin(nz)$	$Y_0(0) = 1$ $Y_1(0) = 0$ $Y_2(0) = 1$ $Y_3(0) = 0$	$Y'_0(z) = -m Y_1(z)$ $Y'_1(z) = m Y_0(z)$ $Y'_2(z) = -n Y_3(z)$ $Y'_3(z) = n Y_2(z)$

Общее решение (0.1) запишется в виде

Произвольные постоянные определяются из однородной системы граничных условий, определитель которой в случае нетривиального решения должен быть равен рулю. Указанное равенство дает при фиксированном определяющем соотношение для параметра критических сил.

Сведем в таблицу эти определяющие соотношения для всех рассматриваемых задач, группируя их в зависимости от знака дискриминанта. Начнем со случая отрицательного дискриминанта.

Таблица 3

$D < 0$	Матрица СЛАУ $\det A = 0$
	а) Шарнирное опирание на обоих концах стержня $A = \begin{bmatrix} Y_1(\pi) & Y_2(\pi) \\ -4Y_1(\pi) + 2\beta\gamma Y_2(\pi) & -4Y_2(\pi) - 2\beta\gamma Y_1(\pi) \end{bmatrix}$ $\boxed{\sqrt{k^2 - \lambda^2} (ch^2(\beta\pi) \sin^2(\gamma\pi) + sh^2(\beta\pi) \cos^2(\gamma\pi)) = 0} \quad (1.5)$
	б) Жесткая заделка на обоих концах стержня $A = \begin{bmatrix} \gamma & \beta & 0 \\ Y_1(\pi) & Y_2(\pi) & Y_3(\pi) \\ \beta Y_3(\pi) + \gamma Y_0(\pi) & \beta Y_0(\pi) - \gamma Y_3(\pi) & \beta Y_1(\pi) + \gamma Y_2(\pi) \end{bmatrix}$ $\boxed{-(k - \lambda)ch^2(\beta\pi) \sin^2(\gamma\pi) + (k + \lambda)sh^2(\beta\pi) \cos^2(\gamma\pi) + 2k sh^2(\beta\pi) \sin^2(\gamma\pi) = 0} \quad (1.6)$
	в) Жесткая заделка и шарнирное опирание $A = \begin{bmatrix} Y_2(\pi) - \frac{\beta}{\gamma} Y_1(\pi) & Y_3(\pi) \\ Y_1(\pi) - \frac{\beta}{\gamma} Y_2(\pi) & Y_0(\pi) \end{bmatrix}$ $\boxed{sh(2\beta\pi) - \frac{\beta}{\gamma} \sin(2\gamma\pi) = 0} \quad (1.7)$
	г) Жесткая заделка и свободный край $A = \begin{bmatrix} \frac{1}{\gamma} (-k\lambda Y_3(\pi) - 2\beta\gamma k Y_0(\pi)) & (-\beta k Y_1(\pi) + \gamma k Y_2(\pi)) \\ \frac{1}{\gamma} (-\beta k Y_1(\pi) - \gamma k Y_2(\pi)) & (-\lambda Y_3(\pi) + 2\beta\gamma Y_0(\pi)) \end{bmatrix}$ $\boxed{2(k^2 - \lambda^2)ch^2(\beta\pi) \cos^2(\gamma\pi) + k(k - \lambda)ch^2(\beta\pi) \sin^2(\gamma\pi) - k(k + \lambda)sh^2(\beta\pi) \cos^2(\gamma\pi) - 2\lambda^2 sh^2(\beta\pi) \sin^2(\gamma\pi) = 0} \quad (1.8)$

Как будет показано ниже (см. Утверждения 1-3) при отрицательном дискриминанте для задач а) - в) первая критическая сила не реализуется. В задаче г) при  $D < 0$  (Утверждение 5) первая критическая сила реализуется для значений  $k$ , превышающих некоторое пороговое значение  $k^*$  (Утверждение 4). Приведем теперь определяющие соотношения в случае, когда дискриминант равен нулю ( $\lambda = k$ ).

Таблица 4

$D = 0$	Матрица СЛАУ $\det A = 0$
а) Шарнирное опирание на обоих концах стержня	$A = \begin{bmatrix} Y_1(\pi) & Y_2(\pi) \\ -n^2 Y_1(\pi) & -2nY_1(\pi) - n^2 Y_2(\pi) \end{bmatrix}$ <div style="border: 1px solid black; padding: 5px; display: inline-block;"> <math>-2n\sin^2(n\pi) = 0</math> </div> (1.9)
б) Жесткая заделка на обоих концах стержня	$A = \begin{bmatrix} Y_1(\pi) - nY_2(\pi) & Y_2(\pi) \\ n^2 Y_2(\pi) & Y_1(\pi) + nY_2(\pi) \end{bmatrix}$ <div style="border: 1px solid black; padding: 5px; display: inline-block;"> <math>\sin^2(n\pi) - (n\pi)^2 = 0</math> </div> (1.10)
в) Жесткая заделка и шарнирное опирание	$A = \begin{bmatrix} Y_1(\pi) - nY_2(\pi) & Y_2(\pi) \\ nY_1(\pi) + n^2 Y_2(\pi) & 2Y_0(\pi) - nY_2(\pi) \end{bmatrix}$ <div style="border: 1px solid black; padding: 5px; display: inline-block;"> <math>\sin(n\pi)\cos(n\pi) - n\pi = 0</math> </div> (1.11)
г) Жесткая заделка и свободный край	$A = \begin{bmatrix} nY_2(\pi) + n^2 Y_1(\pi) & 2Y_0(\pi) - nY_2(\pi) \\ 2nY_0(\pi) + n^2 Y_2(\pi) & nY_1(\pi) - Y_2(\pi) \end{bmatrix}$ <div style="border: 1px solid black; padding: 5px; display: inline-block;"> <math>3\cos^2(n\pi) - (n\pi)^2 + 1 = 0</math> </div> (1.12)

Далее показывается (Утверждения 6 и 7), что в задачах б) и в) первая критическая сила также не реализуется, а в задаче а) реализуется на счетном наборе точек  $\lambda = k = i^2$ ,  $i = 1, 2, \dots$ . В задаче г) пороговое значение  $\lambda = k^*$  реализуется как раз в случае  $D = 0$  (Утверждение 4). Первая и последующие критические силы для задач а)-в), (а для задачи г) при  $k < k^*$ ) реализуются, когда  $D > 0$ . Определяющие соотношения приведены в таблице ниже.

Таблица 5

$D > 0$	Матрица СЛАУ $\det A = 0$
a) Шарнирное опирание на обоих концах стержня	$A = \begin{bmatrix} Y_1(\pi) & Y_3(\pi) \\ -m^2 Y_1(\pi) & -n^2 Y_3(\pi) \end{bmatrix}$ $(m^2 - n^2)(\sin(m\pi)\sin(n\pi)) = 0 \quad (1.13)$
b) Жесткая заделка на обоих концах стержня	$A = \begin{bmatrix} Y_0(\pi) - Y_2(\pi) & Y_1(\pi) - \frac{m}{n} Y_3(\pi) \\ -mY_1(\pi) + nY_3(\pi) & mY_0(\pi) - mY_2(\pi) \end{bmatrix}$ $\cos(m\pi)\cos(n\pi) + \frac{\lambda}{k} \sin(m\pi)\sin(n\pi) - 1 = 0 \quad (1.14)$
c) Жесткая заделка и шарнирное опирание	$A = \begin{bmatrix} Y_0(\pi) - Y_2(\pi) & Y_1(\pi) - \frac{m}{n} Y_3(\pi) \\ -m^2 Y_0(\pi) + n^2 Y_2(\pi) & -m^2 Y_1(\pi) + mn Y_3(\pi) \end{bmatrix}$ $m\cos(m\pi)\sin(n\pi) - n\sin(m\pi)\cos(n\pi) = 0 \quad (1.15)$
г) Жесткая заделка и свободный край	$A = \begin{bmatrix} \frac{1}{\gamma}(-k\lambda Y_3(\pi) - 2\beta\gamma k Y_0(\pi)) & (-\beta k Y_1(\pi) + \gamma k Y_2(\pi)) \\ \frac{1}{\gamma}(-\beta k Y_1(\pi) - \gamma k Y_2(\pi)) & (-\lambda Y_3(\pi) + 2\beta\gamma Y_0(\pi)) \end{bmatrix}$ $2k\lambda \sin(m\pi)\sin(n\pi) + (4\lambda^2 - 2k^2) \cos(m\pi)\cos(n\pi) - 2k^2 = 0 \quad (1.16)$

Перейдем к формулировке и доказательствам утверждений, о реализуемости критических нагрузок во всех рассматриваемых задачах.

## 2. Реализуемость первой и последующих критических сил

**Утверждение 1.** Для граничных условий шарнирного опирания на обоих концах стержня критическая сила не реализуется при  $D < 0$  (уравнение (1.5) не имеет корней при  $\lambda \in [0, k]$ ).

**Доказательство.** Пусть  $D < 0$ , т.е.  $\lambda < k$ . Тогда уравнение

$$\sqrt{k^2 - \lambda^2} (ch^2(\beta\pi) \sin^2(\gamma\pi) + sh^2(\beta\pi) \cos^2(\gamma\pi)) = 0$$

имеет корни, если оба неотрицательных слагаемых в левой части равны нулю  $ch^2(\beta\pi)\sin^2(\gamma\pi) = 0$ ,  $sh^2(\beta\pi)\cos^2(\gamma\pi) = 0$ . Последнее возможно только если  $\beta = \gamma = 0$ . Тогда из (2.3) получаем  $\lambda = k = 0$  и  $D = 0$ . Утверждение доказано.

**Утверждение 2.** Для граничных условий жесткой заделки на обоих концах стержня критическая сила не реализуется при (уравнение (1.6) не имеет корней при ).

**Доказательство.** Преобразуем уравнение (1.6)

$$\begin{aligned} & (k + \lambda)sh^2(\beta\pi)\cos^2(\gamma\pi) + sh^2(\beta\pi)\sin^2(\gamma\pi) + ksh^2(\beta\pi)\sin^2(\gamma\pi) + \\ & + ksh^2(\beta\pi)\sin^2(\gamma\pi) = (k - \lambda)ch^2(\beta\pi)\sin^2(\gamma\pi), \\ & (k + \lambda)sh^2(\beta\pi)(\cos^2(\gamma\pi) + \sin^2(\gamma\pi)) + (k - \lambda)sh^2(\beta\pi)\sin^2(\gamma\pi) = \\ & = (k - \lambda)ch^2(\beta\pi)\sin^2(\gamma\pi), \\ & (k + \lambda)sh^2(\beta\pi) = (k - \lambda)\sin^2(\gamma\pi)(ch^2(\beta\pi) - sh^2(\beta\pi)), \\ & (k + \lambda)sh^2(\beta\pi) = (k - \lambda)\sin^2(\gamma\pi), \\ & sh^2(\beta\pi) - \frac{\beta^2}{\gamma^2}\sin^2(\gamma\pi) = 0. \end{aligned}$$

Так как

$$sh^2(\beta\pi) > (\beta\pi)^2 \quad \forall \beta > 0$$

и

$$\sin^2(\gamma\pi) < (\gamma\pi)^2 \quad \forall \gamma > 0,$$

то

$$sh^2(\beta\pi) - \frac{\beta^2}{\gamma^2}\sin^2(\gamma\pi) > \beta^2\pi^2 - \frac{\beta^2}{\gamma^2}\gamma^2\pi^2 = 0$$

при любом  $\lambda \in [0, k]$ .

Утверждение доказано.

**Утверждение 3.** Для граничных условий, когда нижний конец стержня жестко заделан, а верхний - шарнирно оперт, критическая сила не реализуется при  $D < 0$  (уравнение (1.7) не имеет корней при  $\lambda \in [0, k]$ ).

**Доказательство.** Проводится аналогично предыдущему.

Утверждения 1 - 3 могут быть доказаны проще, следя [2]. Дифференциальный оператор уравнения (0.1) представляется в виде

$$L = \frac{d^4}{dz^4} + 2\lambda \frac{d^2}{dz^2} + k^2 E = B^2 + (k^2 - \lambda^2)E$$

В пространстве  $H = L^2(0, \pi)$  краевые задачи с граничными условиями а) - в) являются самосопряженными, так как операторы  $L$  и  $B$  содержат производные четного порядка, а для граничных условий а) - в) выполнены условия

$$w(0) \cdot w'''(0) = 0, \quad w(\pi) \cdot w'''(\pi) = 0, \quad w'(0) \cdot w''(0) = 0, \quad w'(\pi) \cdot w''(\pi) = 0.$$

Тогда легко видеть (т. к. оператор  $B = \frac{d^2}{dz^2} + \lambda$  - самосопряженный), что

$$(Lw, w)_H = \left\| \frac{\partial^2 w}{\partial z^2} + \lambda w \right\|_H^2 + (k^2 - \lambda^2) \|w\|_H^2.$$

Левая часть равна нулю согласно (0.1), а правая положительна при  $\lambda < k$ , поэтому выполнено  $\lambda \geq k$ .

**Утверждение 4.** При граничных условиях, когда нижний конец стержня жестко закреплен, а на свободный верхний конец действует вертикальная сжимающая сила, характеризующаяся параметром  $\lambda$ , первая критическая сила реализуется при только при одном значении  $k = \lambda = k^* = 0.143388465$  (уравнение (1.12) имеет только один корень  $\lambda = k^*$ ).

**Доказательство.** Залишем уравнение (1.12) в виде

$$3\cos^2(n\pi) = (n\pi)^2 - 1 \quad (2.1)$$

На промежутке  $[0, 0.5]$  левая часть монотонно убывает от 3 до нуля, а правая - монотонно возрастает от -1 до  $\pi^2/4 - 1$ . Следовательно, при  $n \in [0, 0.5]$  имеется единственный положительный корень  $n^* \approx 0.37866667$ , который соответствует следующим параметрам жесткости среды и первой критической силы:  $k^* = \lambda^* = (n^*)^2 = 0.143388465$ .

Утверждение доказано.

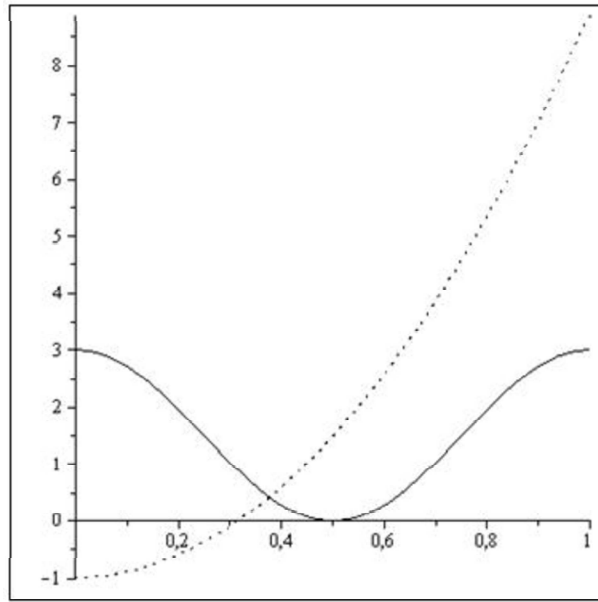


Рис. 2. Графики правой и левой части уравнения (2.1)

**Утверждение 5.** При граничных условиях жесткой заделки на нижнем конце стержня и свободном крае с вертикально действующей силой на верхнем, и фиксированном  $k > k^*$  ( $k^*$  из Утверждения 4) в случае  $D < 0$  реализуется первая критическая сила (уравнение (1.8) имеет хотя бы один корень на промежутке  $(k/2, k)$ ).

**Доказательство.** Пусть  $k > k^*$ . Воспользуемся тем, что

$$ch^2(\beta\pi) = (ch(2\beta\pi) + 1)/2 \quad sh^2(\beta\pi) = (ch(2\beta\pi) - 1)/2,$$

и представим левую часть уравнения (2.8) в следующем виде:

$$\begin{aligned} f(\lambda) = & \frac{ch(2) + 1}{2} \cos^2 + \frac{ch(2) + 1}{2} \sin^2 - \frac{ch(2) - 1}{2} \cos^2 - \\ & \frac{ch(2) - 1}{2} \sin^2 = \frac{ch(2)}{2} + \frac{1}{2} () \end{aligned}$$

$$(ch(2) = ch(2\beta\pi), \cos(2) = \cos(2\gamma\pi), \cos = \cos(\gamma\pi), \sin = \sin(\gamma\pi))$$

Преобразуем выражения I и II (круглые скобки в правой части).

$$\begin{aligned} I = & 2k^2 \cos^2 - 2\lambda^2 \cos^2 + k^2 \sin^2 - k\lambda \sin^2 - k^2 \cos^2 - k\lambda \cos^2 - 2\lambda^2 \sin^2 = \\ = & k^2 (\cos^2 + \sin^2) - 2\lambda^2 (\cos^2 + \sin^2) - k\lambda (\cos^2 + \sin^2) = \end{aligned}$$

$$\begin{aligned}
 &= k^2 - 2\lambda^2 - k\lambda = \underline{(k + \lambda)(k - 2\lambda)}; \\
 II &= 2k^2 \cos^2 - 2\lambda^2 \cos^2 + k^2 \sin^2 - k\lambda \sin^2 + k^2 \cos^2 + k\lambda \cos^2 + 2\lambda^2 \sin^2 = \\
 &= k^2 (1 + 2 \cos^2) - 2\lambda^2 (\cos^2 - \sin^2) + k\lambda (\cos^2 - \sin^2) = \\
 &= k^2 (2 + \cos(2)) - 2\lambda^2 \cos(2) + k\lambda \cos(2) = 2k^2 + (k^2 - \lambda^2 - \lambda^2 + k\lambda) \cos(2) = \\
 &= 2k^2 + ((k - \lambda)(k + \lambda) + \lambda(k - \lambda)) \cos(2) = \underline{2k^2 + (k - \lambda)(k + 2\lambda) \cos(2)}
 \end{aligned}$$

Окончательно получим

$$f(\lambda) = \frac{ch(2\beta\pi)}{2}(k + \lambda)(k - 2\lambda) + \frac{\cos(2\gamma\pi)}{2}(k - \lambda)(k + 2\lambda) + k^2.$$

Заметим, что

$$\begin{aligned}
 f(0) &= \frac{k^2}{2} \left( ch(\sqrt{2k}\pi) + \cos(\sqrt{2k}\pi) + 2 \right) > 0; \\
 f\left(\frac{k}{2}\right) &= \frac{k^2}{2} \cos(2\gamma\pi) + k^2 > 0; \\
 f(k) &= \frac{ch(0)}{2} 2k(-k) + 0 + k^2 = 0.
 \end{aligned}$$

Вычислим производную функции  $f(\lambda)$  в точке  $\lambda = k$ . Имеем  $f'(\lambda)|_{\lambda=k} = k \left[ k\pi^2 - (1 + 3 \cos^2(\sqrt{k}\pi)) \right] = 0$  при  $k = k^*$  (см. утверждение 4). При  $k > k^*$  имеем  $f'(\lambda)|_{\lambda=k} > 0$  и, следовательно,  $\exists \lambda \in (k/2, k) : f(\lambda) = 0$ . Утверждение доказано.

На рис. 3,4 показано поведение функции  $f(\lambda)$  на промежутке  $(k/2, k)$  при  $k = 0.1, k^*, 0.2, 0.3$  (рис.3) и при  $k = 2, 3$  (рис.4).

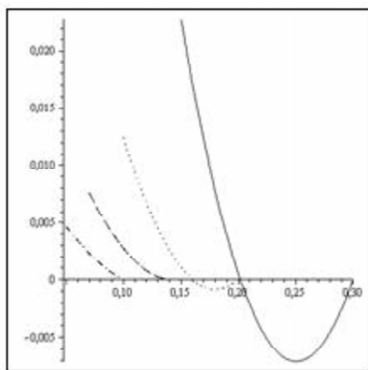


Рис. 3

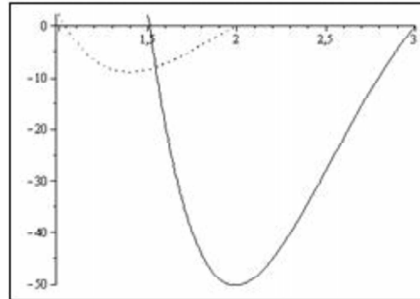


Рис. 4

Два последних утверждения показывают, что в отличие от граничных условий шарнирного опирания или жесткой заделки на концах стержня, в случае свободного верхнего конца первая критическая сила реализуется: при  $D < 0$  и  $k > k^*$ ; при  $D = 0$  и  $k = k^*$ ; и при  $D > 0$  и  $k < k^*$  (как будет показано в дальнейшем).

**Утверждение 6.** В случае граничных условий шарнирного опирания на обоих концах стержня первая критическая сила реализуется при  $D = 0$  для  $\lambda = k = n^2$ ,  $n = 1, 2, \dots$

**Доказательство.** Уравнение (1.9) имеет корни  $n\pi$   $n = 1, 2, \dots$  Утверждение доказано.

**Утверждение 7.** Если оба конца стержня жестко заделаны, либо нижний конец жестко заделан, а верхний шарнирно закреплен, то первая критическая сила не реализуется при  $D = 0$ .

**Доказательство.** Уравнения (1.10), (1.11) не имеют корней при  $\lambda = k$ , так как  $\sin^2(n\pi) - (n\pi)^2 < 0$ ,  $\sin(2n\pi) - (2n\pi) < 0$ . Утверждение доказано.

Реализация 1-й критической силы при  $D = 0$  в случае жесткой заделки нижнего конца стержня и свободного верхнего конца доказана выше в утверждении 4.

**Утверждение 8.** При  $D > 0$  критические силы реализуются (при фиксированном  $k$ ) на следующих промежутках:

1. Для граничных условий а), б) и г)  $\lambda \in [k + (i-1)^2/2, k + i^2/2]$ ,  $i = 1, 2, \dots$  (см. табл. 5);

2. Для граничных условий в)  $\lambda \in [k + (2i-1)^2/8, k + (2i+1)^2/8]$ ,  $i = 1, 2, \dots$

В случаях а) - в) наименьшее  $\lambda$  соответствует 1-й критической силе, а в случае г) - второй.

**Доказательство.** Заметим, что во всех рассматриваемых случаях при  $n = m + i \Rightarrow \lambda = k + i^2/2$ . Рассматривая левую часть уравнений (1.13) - (1.16) как функцию  $f(\lambda)$ , вычислим ее значения на концах указанных промежутков:

а) Пусть  $i$  - четное,  $\lambda = k + i^2/2 \Rightarrow n\pi = m\pi + i\pi$

$$f(\lambda) = (m^2 - n^2) \sin^2(m\pi) \leq 0.$$

Аналогично при  $\lambda = k + (i-1)^2/2 \Rightarrow n\pi = m\pi + (i-1)\pi$

$$f(\lambda) = (n^2 - m^2) \sin^2(m\pi) \geq 0.$$

б) При  $\lambda = k + i^2/2$

$$f(\lambda) = \cos^2(m\pi) + \frac{\lambda}{k} \sin^2(m\pi) - 1 = \left( \frac{\lambda}{k} - 1 \right) \sin^2(m\pi) \geq 0,$$

при  $\lambda = k + i^2/2$

$$f(\lambda) = 2k(k + i^2/2) \sin^2(m\pi) + (4(ki^2/2) - 2k^2) \cos^2(m\pi) - 2k^2 > 0$$

г) При  $\lambda = k + (i - 1)^2/2$

$$f(\lambda) = 2k(k + i^2/2) \sin^2(m\pi) + (4(ki^2/2) - 2k^2) \cos^2(m\pi) - 2k^2 > 0$$

при  $\lambda = k + (i - 1)^2/2$

$$f(\lambda) = -2k(k + i^2/2) \sin^2(m\pi) - (4(ki^2/2) - 2k^2) \cos^2(m\pi) - 2k^2 < 0.$$

Таким образом, при некотором  $\lambda \in [k + (i - 1)^2/2, k + i^2/2], i = 1, 2, \dots$ , функция  $f(\lambda)$  обращается в нуль.

в) Пусть  $i$  - нечетное. Тогда при  $n = m + (2i - 1)/2 \Rightarrow \lambda = k + (2i - 1)^2/8$  имеем

$$f(\lambda) = f(k + (2i - 1)^2/8) = m + \frac{2i - 1}{2} \sin^2(m\pi) > 0,$$

а при  $n = m + (2i + 1)/2 \Rightarrow \lambda = k + (2i + 1)^2/8$

$$f(\lambda) = f(k + (2i + 1)^2/8) = -m - \frac{2i + 1}{2} \sin^2(m\pi) < 0.$$

При четном  $i$  имеем

$$f(\lambda) = f(k + (2i - 1)^2/8) = -m - \frac{2i - 1}{2} \sin^2(m\pi) < 0,$$

и

$$f(\lambda) = f(k + (2i + 1)^2/8) = m \frac{2i + 1}{2} \sin^2(m\pi) > 0.$$

Следовательно, при некотором  $\lambda \in [k + (2i - 1)^2/8, k + (2i + 1)^2/8], i = 1, 2, 3, \dots$ , функция  $f(\lambda)$  обращается в нуль. Утверждение доказано.

### 3. Поведение критических сил в зависимости от жесткости среды

В заключение, докажем утверждения о поведении критических сил при изменении жесткости среды  $k$ . То есть найдем асимптотические зависимости  $\lambda(k)$ .

**Утверждение 9.** В случае граничных условий а) функции  $\lambda_{(i)kp}(k)$  не имеют предела и их графики заключены между прямыми  $k + (i - 1)^2/2$  и  $k + i^2/2, i = 1, 2, \dots$ .

**Доказательство.** Так как все корни уравнения, следующего из (1.13)

$$\sin(m\pi)\sin(n\pi) = 0,$$

принадлежат промежуткам  $[k + (i-1)^2/2, k + i^2/2]$ , и при  $\lambda_i = \frac{m^2+n^2}{2} = \frac{2m^2+2mi+i^2}{2}$ ,  $k = mn = m(m+i)$ , то кривая  $\lambda_{(i) kp.}(k)$  касается прямой  $\lambda = k + \frac{i^2}{2}$  в бесконечном числе точек  $\left\{ m(m+i), \frac{2m^2+2mi+i^2}{2} \right\}$  и, аналогично, касается прямой  $\lambda = k + \frac{(i-1)^2}{2}$  в точках

$$\left\{ m(m+i-1), \frac{2m^2+2m(i-1)+(i-1)^2}{2} \right\}$$

при  $m = 0, 1, 2, \dots$ , и поэтому не имеет предела. Утверждение доказано. Зависимости для граничных условий а) приведены на рис. 5.

**Утверждение 10.** В случае граничных условий б) (жесткая заделка на обоих концах) зависимости  $\lambda_{(i) kp.}(k)$  и  $\lambda_{(i+1) kp.}(k)$   $i = 1, 3, 5, \dots$  стремятся к линейной, то есть:

$$\lambda_{(i) kp.}(k) \xrightarrow[k \rightarrow \infty]{} k + \frac{(i+1)^2}{2}, \quad \lambda_{(i+1) kp.}(k) \xrightarrow[k \rightarrow \infty]{} k + \frac{(i+1)^2}{2}, \quad i = 1, 3, 5, \dots$$

**Доказательство.** Обозначим левую часть уравнения (1.14) через  $f(\lambda)$

$$f(\lambda) = \cos(m\pi)\cos(n\pi) + \frac{\lambda}{k}\sin(m\pi)\sin(n\pi) - 1,$$

и вычислим ее значения в точках (напомним, что при  $n = m+i \Rightarrow \lambda_i = k + i^2/2$ ):

$$f\left(k + \frac{i^2}{2}\right) = -\cos^2(m\pi) - \frac{k + i^2/2}{k}\sin^2(m\pi) - 1 < 0,$$

$$f\left(k + \frac{(i+1)^2}{2}\right) = \underbrace{\cos^2(m\pi)}_{\rightarrow 0} + \underbrace{\frac{k + (i+1)^2/2}{k}\sin^2(m\pi)}_{npu} - 1 > 0$$

Найдем приращение функции

$$\Delta f_1 = 2\cos^2(m\pi) + \underbrace{\frac{2k + ((i+1)^2 + i^2)/2}{k}\sin^2(m\pi)}_{\rightarrow 2 npu k \rightarrow \infty} > 0$$

и аргумента  $\Delta_1 = ((i+1)^2 - i^2)/2$ . Приближение к корню по методу хорд запишется в виде

$$\tilde{\lambda}_i = k + \frac{(i+1)^2}{2} - \underbrace{\frac{\Delta_1}{\Delta f_1}}_{\rightarrow 2} \xrightarrow{const} k + \frac{(i+1)^2}{2}.$$

Аналогично рассматривается случай приближения к корню  $\tilde{\lambda}_{i+1}$ .

Утверждение доказано.

Зависимости для граничных условий б) приведены на рис. 6.

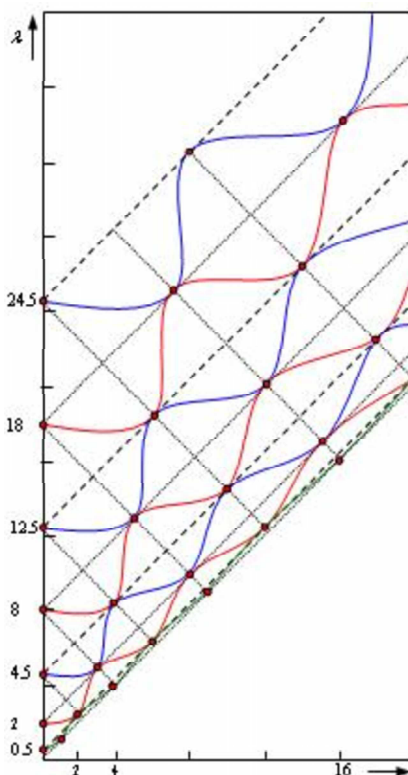


Рис. 5. Случай а)

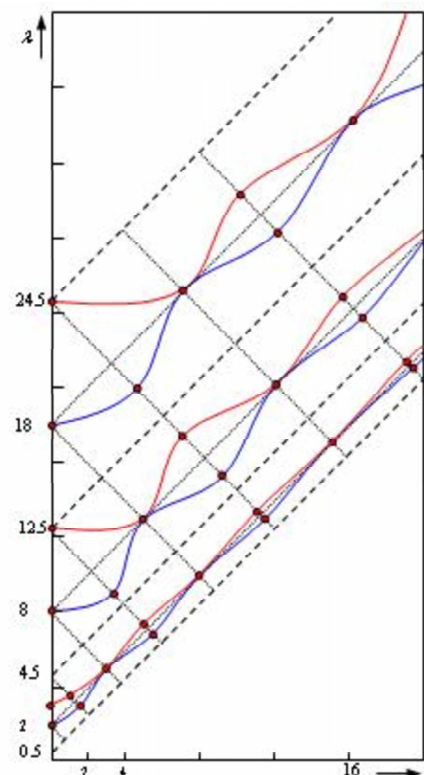


Рис. 6. Случай б)

**Утверждение 11.** В случае граничных условий в) (внизу - жесткая заделка, вверху - шарнирное опирание) зависимости  $\lambda_{(i) kp.}(k)$  стремятся к линейной функции  $\lambda = k + \frac{i^2}{2}$ , при  $i = 1, 2, \dots$

**Доказательство.** Зафиксируем  $i$ . Все корни  $\lambda_i$  уравнения (1.15)

$$f(\lambda) = m \cos(m\pi) \sin(n\pi) - n \sin(m\pi) \cos(n\pi) = 0$$

принадлежат промежутку  $[k + (2i - 1)^2/8, k + (2i + 1)^2/8]$  (см. Утверждение 8). Рассмотрим отдельно корни  $\lambda_i^{(1)} \in [k + (2i - 1)^2/8, k + i^2/2]$  и  $\lambda_i^{(2)} \in [k + i^2/2, k + (2i + 1)^2/8]$  (см. рис. 7),

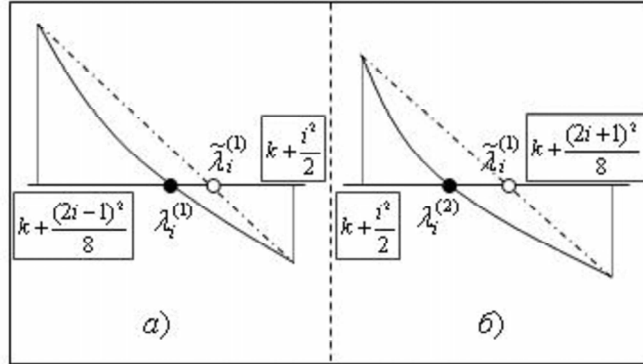


Рис. 7. Расположение корней на соседних промежутках

и покажем, что

$$\lambda_i^{(1)}(k), \lambda_i^{(2)}(k) \rightarrow k + \frac{i^2}{2} \quad npu \quad k \rightarrow \infty.$$

Рассмотрим сначала корни  $\lambda_i^{(1)}$ . Еще раз напомним, что

$$\lambda = k + \frac{(2i-1)^2}{8} \quad npu \quad n = m + \frac{(2i-1)}{2},$$

$$\lambda = k + \frac{(2i-1)^2}{8} \quad npu \quad n = m + \frac{(2i-1)}{2},$$

$$f\left(k + \frac{(2i-1)^2}{8}\right) = m + \frac{(2i-1)}{2} \sin^2(m\pi) > 0,$$

тогда

$$\begin{aligned} \Delta f_1 &= f\left(k + \frac{i^2}{2}\right) - f\left(k + \frac{(2i-1)^2}{8}\right) = \\ &= -i |\sin m\pi \cos m\pi| - m - \frac{2i-1}{2} \sin^2 m\pi < 0 \end{aligned}$$

$$\Delta_1 = k + \frac{i^2}{2} - k - \frac{(2i-1)^2}{8} = \frac{4i-1}{8}.$$

Из уравнения хорды, проходящей через точку

$$(k + (2i-1)^2/8, f(k + (2i-1)^2/8))$$

с угловым коэффициентом  $\frac{\Delta f_1}{\Delta_1}$  найдем приближение к корню

$$\tilde{\lambda}_i^{(1)} = k + \frac{(2i-1)^2}{8} + \frac{4i-1}{8} \cdot \left[ \frac{m + \frac{2i-1}{2} \sin^2 m\pi}{m + \frac{2i-1}{2} \sin^2 m\pi + i |\sin m\pi \cos m\pi|} \right].$$

Выражение в квадратных скобках стремится к 1 при  $k \rightarrow \infty$  (потому, что  $m$  растет, как  $\sqrt{k}$ ). Тогда

$$\tilde{\lambda}_i^{(1)} \rightarrow k + \frac{4i^2 - 4i + 1}{8} + \frac{4i-1}{8} = k + \frac{i^2}{2}.$$

Аналогично

$$\tilde{\lambda}_i^{(2)} \rightarrow k + \frac{4i^2 + 4i + 1}{8} - \frac{4i+1}{8} = k + \frac{i^2}{2}.$$

Утверждение доказано. Кривые показаны на рис. 8.

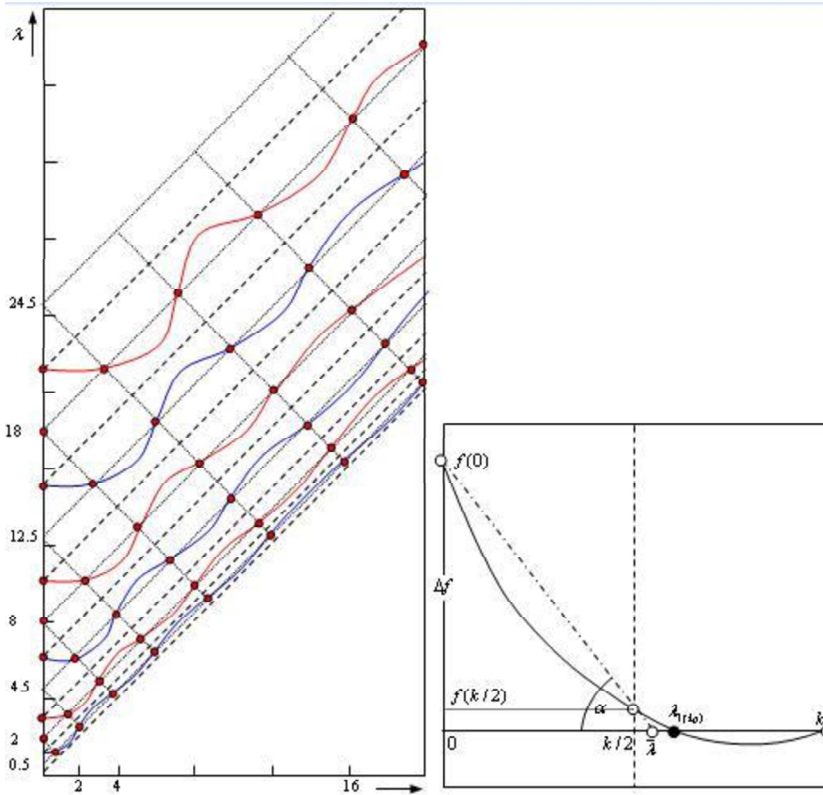


Рис. 8. Случай в).

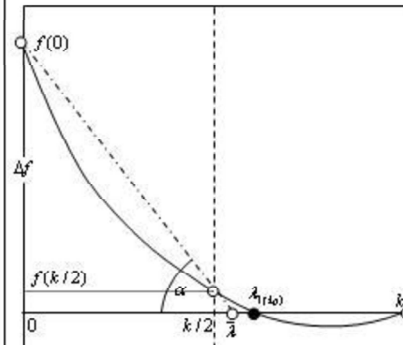


Рис. 9. Случай г): первая кр. сила

**Утверждение 12.** В случае граничных условий г):

1. Зависимости соседних критических сил  $\lambda_{(i) kp.}(k), \lambda_{(i+1) kp.}(k)$  стремятся при  $k \rightarrow \infty$  к линейной функции  $\lambda = k + \frac{i^2}{2}$ , при  $i = 2, 4, \dots$
2.  $\lambda_{(1) kp.}(k) \rightarrow \frac{k}{2}$  при  $k \rightarrow \infty$ .

**Доказательство.** Рассмотрим сначала случай первой критической силы. Напомним, что она реализуется при  $D < 0$ , как единственный корень уравнения (1.8)

$$f(\lambda) = 2(k^2 - \lambda^2)Y_0^2(\pi) + k(k - \lambda)Y_1^2(\pi) - k(k + \lambda)Y_2^2(\pi) - 2\lambda^2Y_3^2(\pi) = 0$$

где  $Y_i$  ( $i = 0, 1, 2, 3$ ) вычисляются по таблице 2 при  $D < 0$  в точке  $\pi$ .

Вычислим значения функции  $f(\lambda)$  (см. рис. 9): в точке  $\lambda = k/2$

$$f\left(\frac{k}{2}\right) = \frac{3k^2}{2}Y_0^2(\pi) + \frac{k^2}{2}Y_1^2(\pi) - \frac{k^2}{2}Y_3^2(\pi) - \frac{3k^2}{2}Y_2^2(\pi) > 0,$$

и в точке  $\lambda = 0$

$$f(0) = 2k^2Y_0^2(\pi) + k^2Y_1^2(\pi) - k^2Y_2^2(\pi) > 0.$$

Вычислим приращение

$$\Delta f = f(k/2) - f(0) = -\frac{k^2}{2}(Y_0^2 + Y_1^2 + Y_2^2 + Y_3^2) = -\frac{k^2}{2}ch(2\beta\pi).$$

Определим тангенс угла наклона хорды (см. рис. 9):

$$tg\alpha = \frac{\Delta f}{(k/2)} = -\frac{k^2/2}{k/2}ch(2\beta\pi) = -k \cdot ch(2\beta\pi).$$

Найдем точку пересечения хорды с осью абсцисс (приближенное значение  $\lambda_{kp}$ ):

$$\begin{aligned} tg\alpha \cdot \tilde{\lambda} + f(0) = 0 \Rightarrow \tilde{\lambda} &= -\frac{f(0)}{tg\alpha} = \frac{2k^2Y_0^2(\pi) + k^2Y_1^2(\pi) - k^2Y_2^2(\pi)}{-k \cdot ch(2\beta\pi)} = \\ &= \frac{k}{2} \left[ 1 + \underbrace{\frac{1 + 2 \cos^2(\gamma\pi)}{ch(2\beta\pi)}}_{\rightarrow 0} \right] \end{aligned}$$

Таким образом,  $\lambda_{kp} \approx \tilde{\lambda} \rightarrow \frac{k}{2}$  при  $k \rightarrow \infty$ . Второй пункт доказан.

Переходим к доказательству первого пункта. Поведение функции  $f(\lambda)$  на промежутке  $[k + \frac{(i-1)^2}{2}, k + \frac{(i+1)^2}{2}]$  показано на рис. 10.

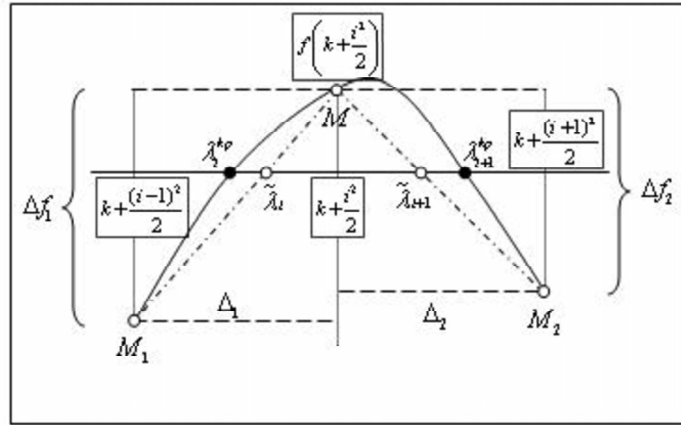


Рис. 10.

Вычислим приращение функции

$$\begin{aligned} \Delta f &= f\left(k + \frac{i^2}{2}\right) - f\left(k + \frac{(i-1)^2}{2}\right) = \\ &= \left[2k\left(2k + \frac{i^2}{2} + \frac{(i-1)^2}{2}\right)\right] \sin^2 m\pi + \\ &+ \left\{4\left[\left(k + \frac{i^2}{2}\right)^2 + \left(k + \frac{(i-1)^2}{2}\right)^2\right] - 4k^2\right\} \cos^2 m\pi, \end{aligned}$$

и приращение аргумента

$$\Delta_1 = \frac{i^2}{2} - \frac{(i-1)^2}{2} = \frac{(2i-1)}{2}.$$

Тангенс угла наклона хорды, проходящей через точки  $M_1$  и  $M$  равен  $\operatorname{tg}\alpha = \frac{\Delta f_1}{\Delta_1}$ .

Уравнение хорды, проходящей через две указанные точки

$$y - f\left(k + \frac{i^2}{2}\right) = \frac{\Delta f_1}{\Delta_1} \cdot \left(\lambda - \left(k + \frac{i^2}{2}\right)\right).$$

Хорда пересекает ось абсцисс при  $y = 0$  в точке  $\tilde{\lambda}_i$ :

$$-f\left(k + \frac{i^2}{2}\right) = \frac{\Delta f_1}{\Delta_1} \cdot \left(\tilde{\lambda}_i - \left(k + \frac{i^2}{2}\right)\right).$$

Откуда

$$\tilde{\lambda}_i = \left(k + \frac{i^2}{2}\right) - \frac{f\left(k + \frac{i^2}{2}\right)}{\Delta f_1} \Delta_1 = \left(k + \frac{i^2}{2}\right) \cdot \left[1 - \frac{f\left(k + \frac{i^2}{2}\right)}{\Delta f_1} \frac{\Delta_1}{k + \frac{i^2}{2}}\right].$$

Числитель подчеркнутого выражения в квадратных скобках стремится к нулю, а знаменатель к единице, при  $k \rightarrow \infty$ . Таким образом, имеем

$$\lambda_{i(kp)} = \lim_{k \rightarrow \infty} \tilde{\lambda}_i = k + \frac{i^2}{2}.$$

Аналогично доказывается, что  $\lambda_{i+1(kp)} = \lim_{k \rightarrow \infty} \tilde{\lambda}_{i+1} = k + \frac{(i+1)^2}{2}$ . Утверждение доказано.

На рис. 11 показаны зависимости  $\lambda_{i(kp)}(k)$ ,  $i = 1, 2, \dots$ .

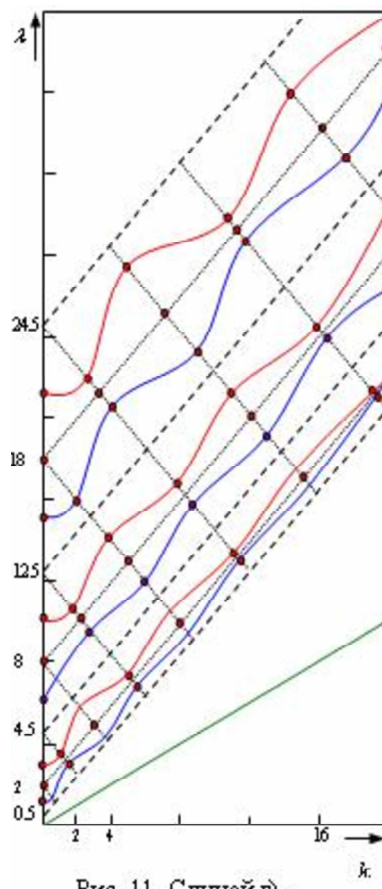


Рис. 11. Случай г).

Покажем, наконец, что при  $k < k^*$ ,  $k \rightarrow 0$ ,  $\lambda_{1(kp)} \rightarrow \frac{1}{8} = 0.125$ .

$m \rightarrow 0$ ,  $n \rightarrow \sqrt{2\lambda}$ , при  $k \rightarrow 0$  и  $f(\lambda) \rightarrow \cos(\sqrt{2\lambda}\pi)$ . Тогда  $\lambda_{1(kp)}$  будет стремиться к решению уравнения  $\cos(\sqrt{2\lambda}\pi) = 0$ , решая которое, находим  $\lambda = \frac{1}{8} = 0.125$ . Поведение  $\lambda_{1(kp)}$  показано на рис. 12.

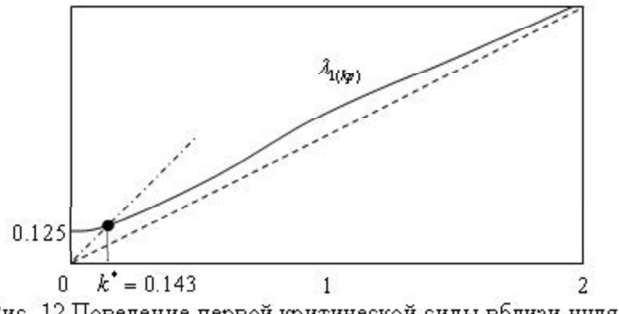


Рис. 12 Поведение первой критической силы вблизи нуля

### 5. Сравнение параметров критических сил в случае отсутствия упругой среды

Если  $k = 0$  (упругая среда отсутствует), полученные зависимости дают значения  $\lambda_{i(kp)}$ , совпадающие с приведенными в [3] для всех рассмотренных граничных условий.

## Литература

1. Михайловский Е. И. Элементы конструктивно-нелинейной механики/ Е.И. Михайловский. - Сыктывкар: Изд-во СыктГУ, 2011. - 212 с.
2. Холопов А. А. Минимальные формы потери устойчивости стержня на границе жесткой упругой сред // Вестн. Сыктывкарск. ун-та. Сер. 1. - 1995. - Вып. 1. - С. 217 - 233.
3. Вольмир А. С. Устойчивость деформируемых систем/ А.С. Вольмир. - М.: Наука, 1967. - 984 с.

### Summary

Nikitenkov V. L., Kholopov A. A. Stability of a flexible core in elastic environment

In a problem about longitudinal compression by vertical force in the elastic environment of a flexible core, under various boundary conditions conditions of realization of the first and the subsequent critical forces are received. Asymptotic dependences of the parameter characterizing critical force, on rigidity, comprehensive a core, are deduced environments.

*Keywords:* core, rigidity of environment, critical forces, boundary conditions, hinge fastening, rigid seal, free edge.